

Identificación de estrellas Be

Reddening-free $\$Q\$\mathit{}$ indices to identify Be star candidates



Yael Aidelman



Carlos Escudero



Anahí Granada



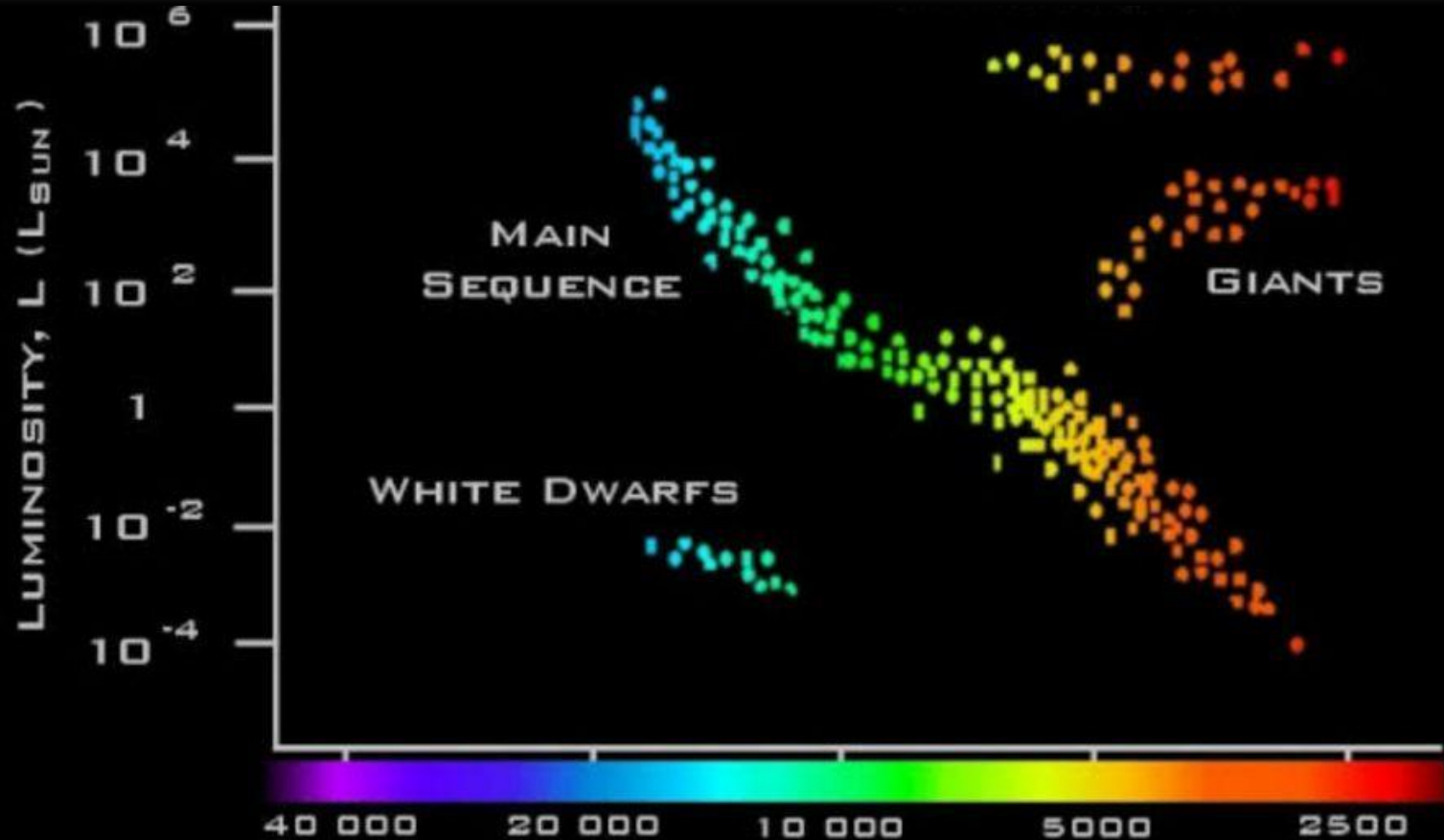
Franco Ronchetti



Facundo Quiroga



Clasificación de Estrellas - Diagrama HR



Clasificación Estelar - Masa, color y temperatura



O

25,000 K



B



A



F



G



K

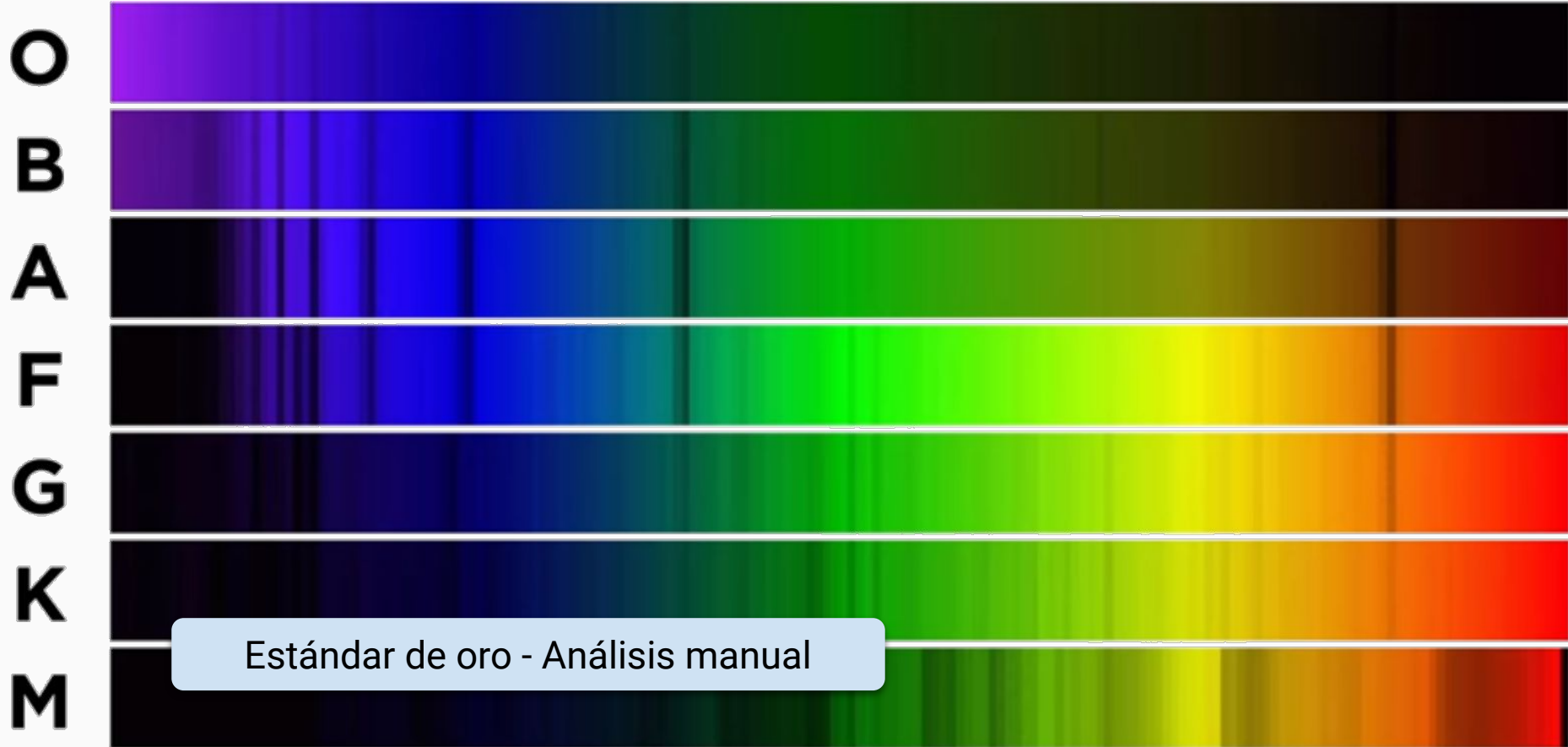


M

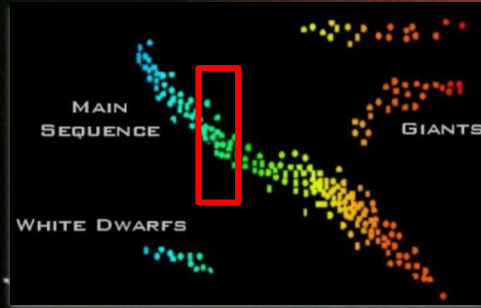
3,500 K



Clasificación Estelar - Espectrometría

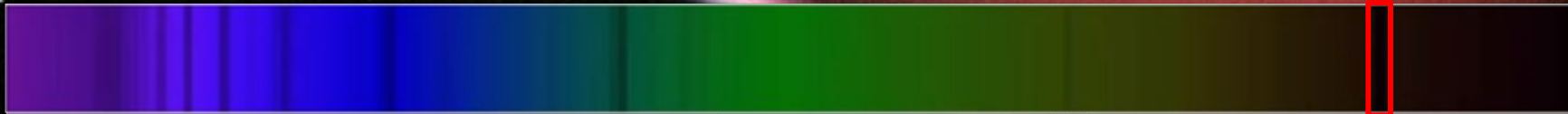


Clasificación Estelar - Estrellas Be



No supergigante
Tipo espectral B

B



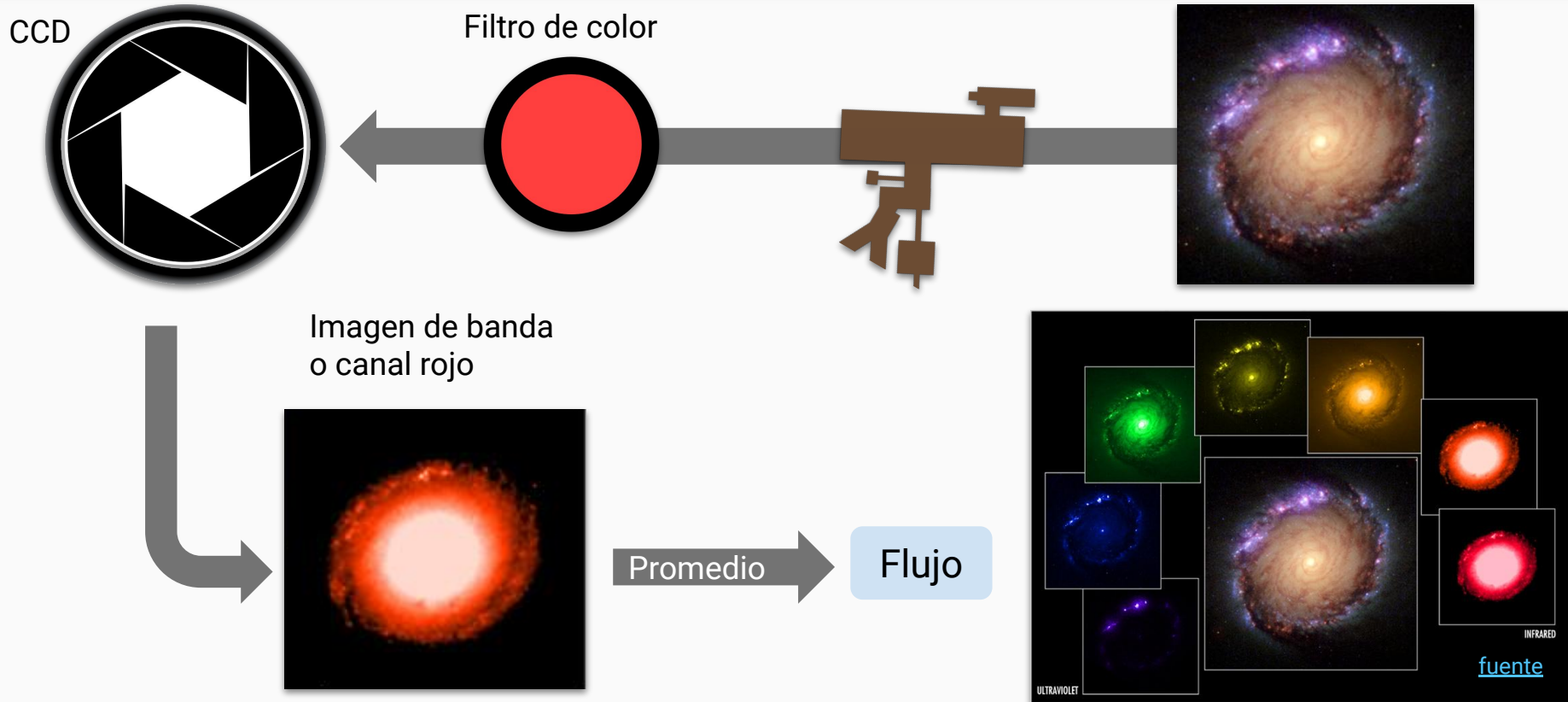
Objetivo: Identificar nuevas estrellas BE

Estrella

Disco circunestelar

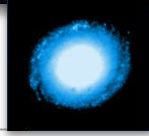
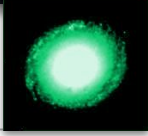
Emisión en H α
(650nm)

Obtención de datos: Fotometría Estelar

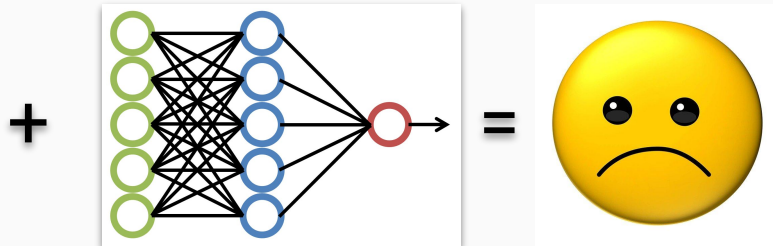


Datos de **baja** calidad, **fáciles** de obtener

Clasificación de Be con Fotometría y ML



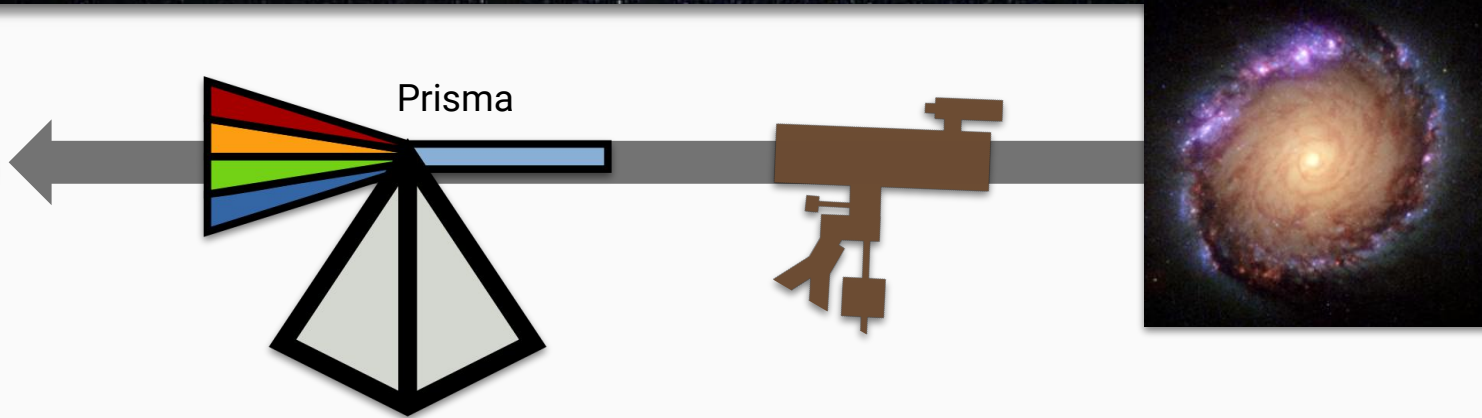
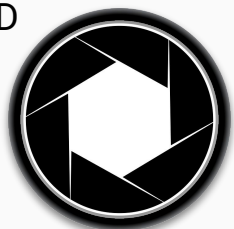
ID	Intensidad promedio en filtro 1	Intensidad promedio en filtro ...	Intensidad promedio en filtro N	Clase
1	1.3	...	2.5	Be
2	0.5	...	2.1	Otra
...



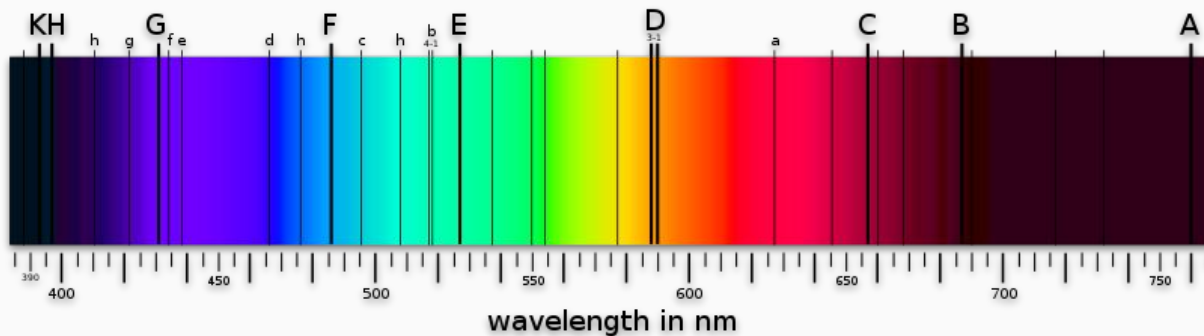
Difícil determinar
clase con Fotometría

Obtención de datos: Espectrometría Estelar

CCD



Espectro

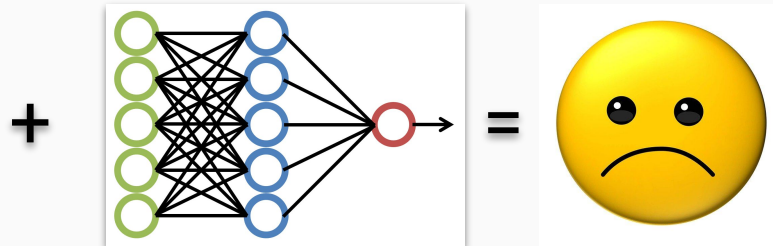


Datos de **alta** calidad, **costosos** de obtener

Clasificación de Be con Espectrometría y ML



ID	Intensidad en longitud de onda 1	Intensidad en longitud de onda ...	Intensidad en longitud de onda N	Clase
1	1.3	...	2.5	Be
2	0.5	...	2.1	Otra
...



Pocos datos
espectrométricos

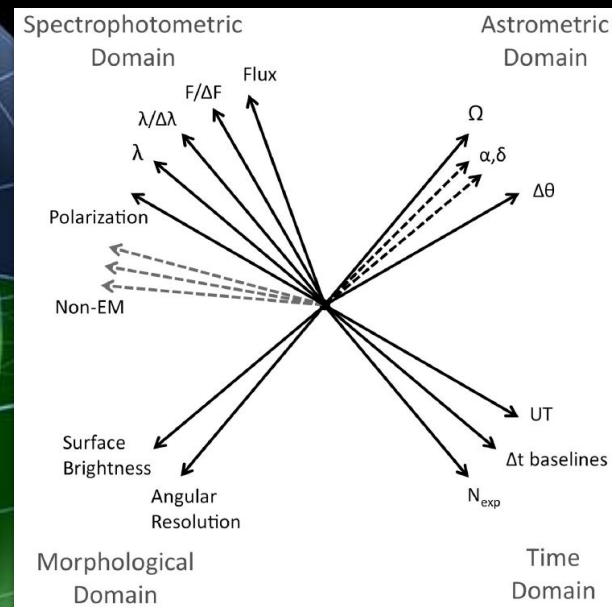
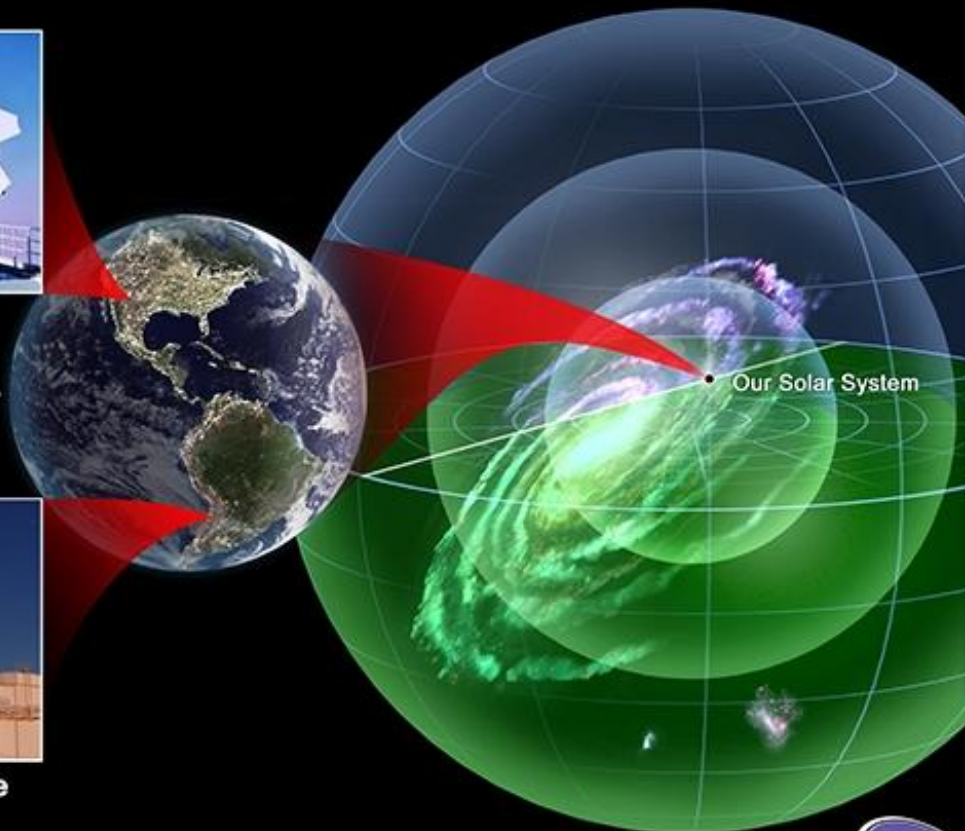
Fuentes de datos -> *Surveys* del cielo



Sloan Foundation
Telescope
New Mexico, U.S.A.



du Pont Telescope
Chile



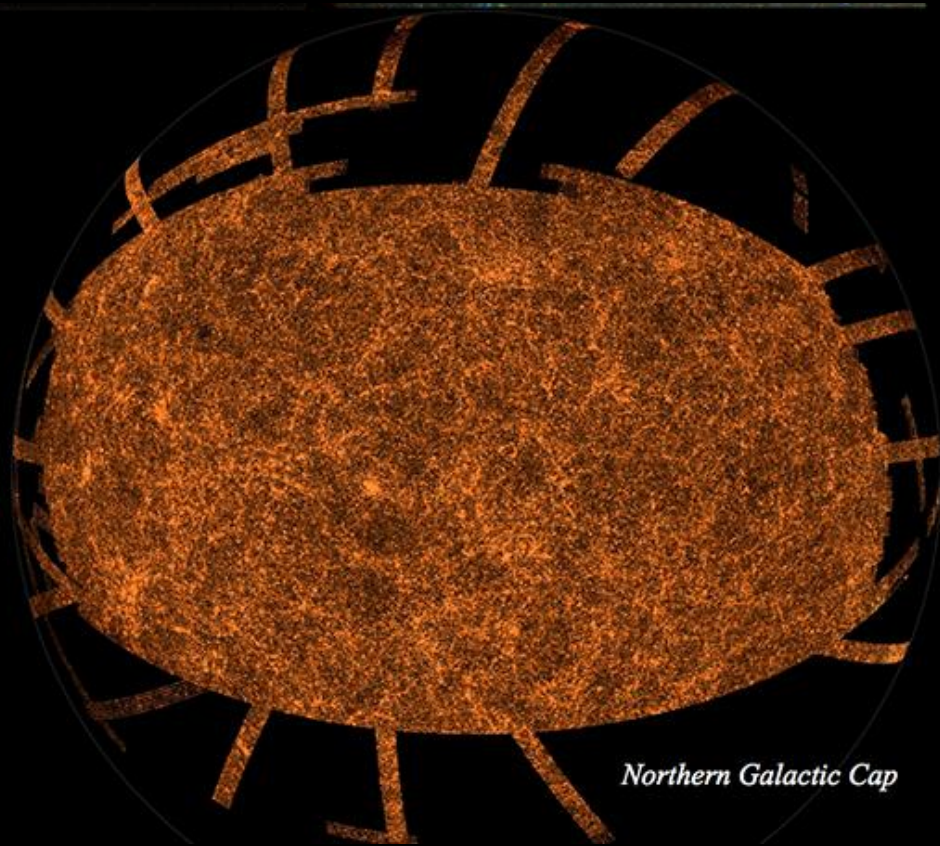
Surveys del cielo - Alta variabilidad

Survey	Type	Duration	Bandpasses	Lim. flux	Area coverage	N_{sources}	Notes
DSS scans	Visible	1950's-1990's	<i>B</i> (~ 450 nm) <i>R</i> (~ 650 nm) <i>I</i> (~ 800 nm)	21 – 22 mag 20 – 21 mag 19 – 20 mag	Full sky	$\sim 10^9$	Scans of plates from the POSS and ESO/SERC surveys
SDSS-I SDSS-II SDSS-III	Visible	2000-2005 2005-2008 2009-2014	<i>u</i> (~ 800 nm) <i>g</i> (~ 800 nm) <i>r</i> (~ 800 nm) <i>i</i> (~ 800 nm) <i>z</i> (~ 800 nm)	22.0 mag 22.2 mag 22.2 mag 21.3 mag 20.5 mag	14,500 deg ²	4.7×10^8	Numbers quoted for DR8 (2011). In addition, spectra of ~ 1.6 million objects
2MASS	Near IR	1997-2001	<i>J</i> (~ 1.25 μm) <i>H</i> (~ 1.65 μm) <i>K_s</i> (~ 2.15 μm)	15.8 mag 15.1 mag 14.3 mag	Full sky	4.7×10^8	
UKIDSS	Near IR	2005-2012	<i>Y</i> (~ 1.05 μm) <i>J</i> (~ 1.25 μm) <i>H</i> (~ 1.65 μm) <i>K</i> (~ 2.2 μm)	20.5 mag 20.0 mag 18.8 mag 18.4 mag	7,500 deg ²	$\sim 10^9$	Estim. final numbers quoted for the LAS; deeper surveys over smaller areas also done
IRAS	Mid/Far IR (space)	1983-1986	12 μm 25 μm 60 μm 100 μm	0.5 Jy 0.5 Jy 0.5 Jy 1.5 Jy	Full sky	1.7×10^5	
NVSS	Radio	1993-1996	1.4 GHz	2.5 mJy	32,800 deg ²	1.8×10^6	Beam ~ 45 arcsec

Surveys del cielo - Cobertura

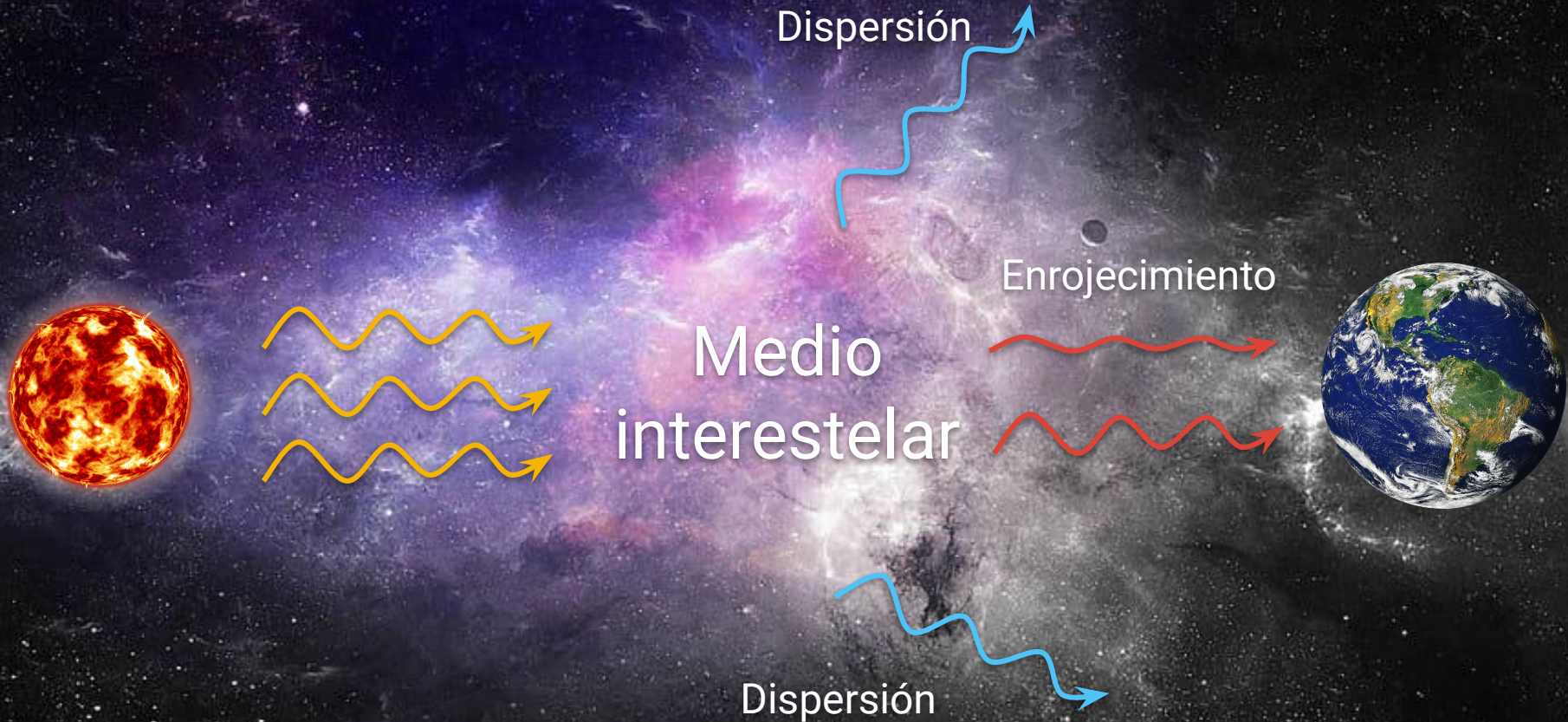


Southern Galactic Cap

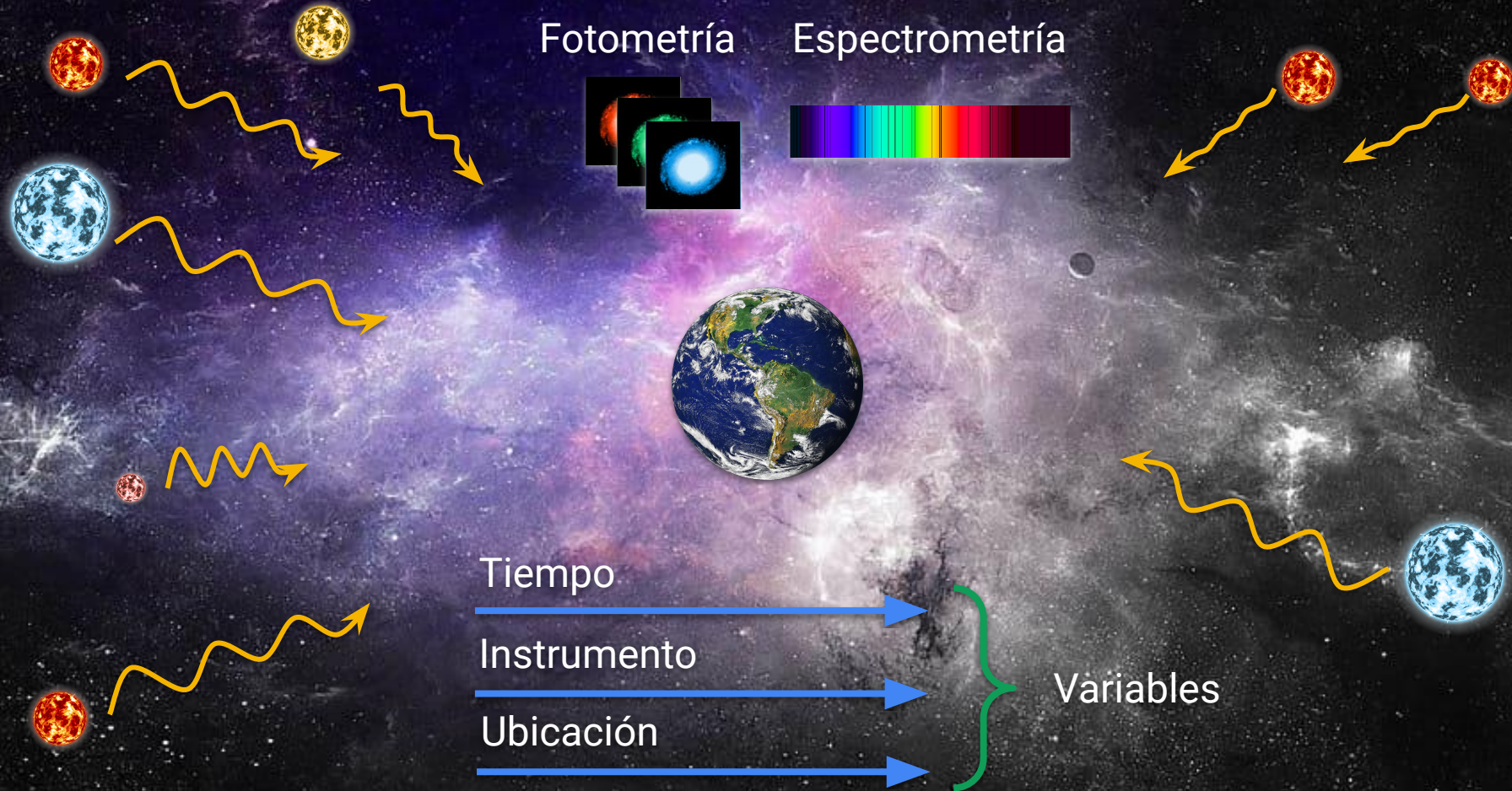


Northern Galactic Cap

Extinción estelar (enrojecimiento)



Resumen de Desafíos



Nuestro enfoque - Datos fotométricos etiquetados

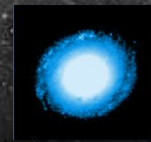
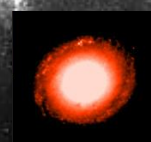
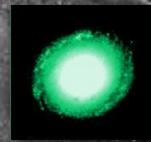
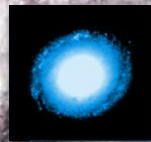
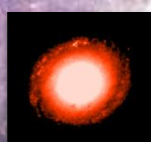
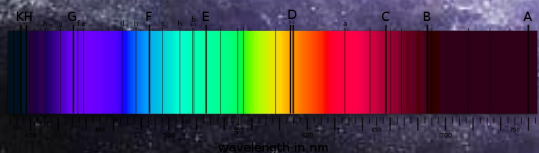
Etiquetado



Sin Etiquetar



Etiquetado



Se reducen significativamente las fuentes de datos

Nuestro enfoque - Bases de datos

Dataset	Normal OB	EM	<i>Total</i>
Mohr-Smith et al. (2017 [20])	5629	248	5877
Liu et al. (2019 [17])	185	98	283

Mohr-Smith et al.

Uso

Entrenamiento y
Prueba

Surveys

VPHAS+
2MASS

Liu et al.

Uso

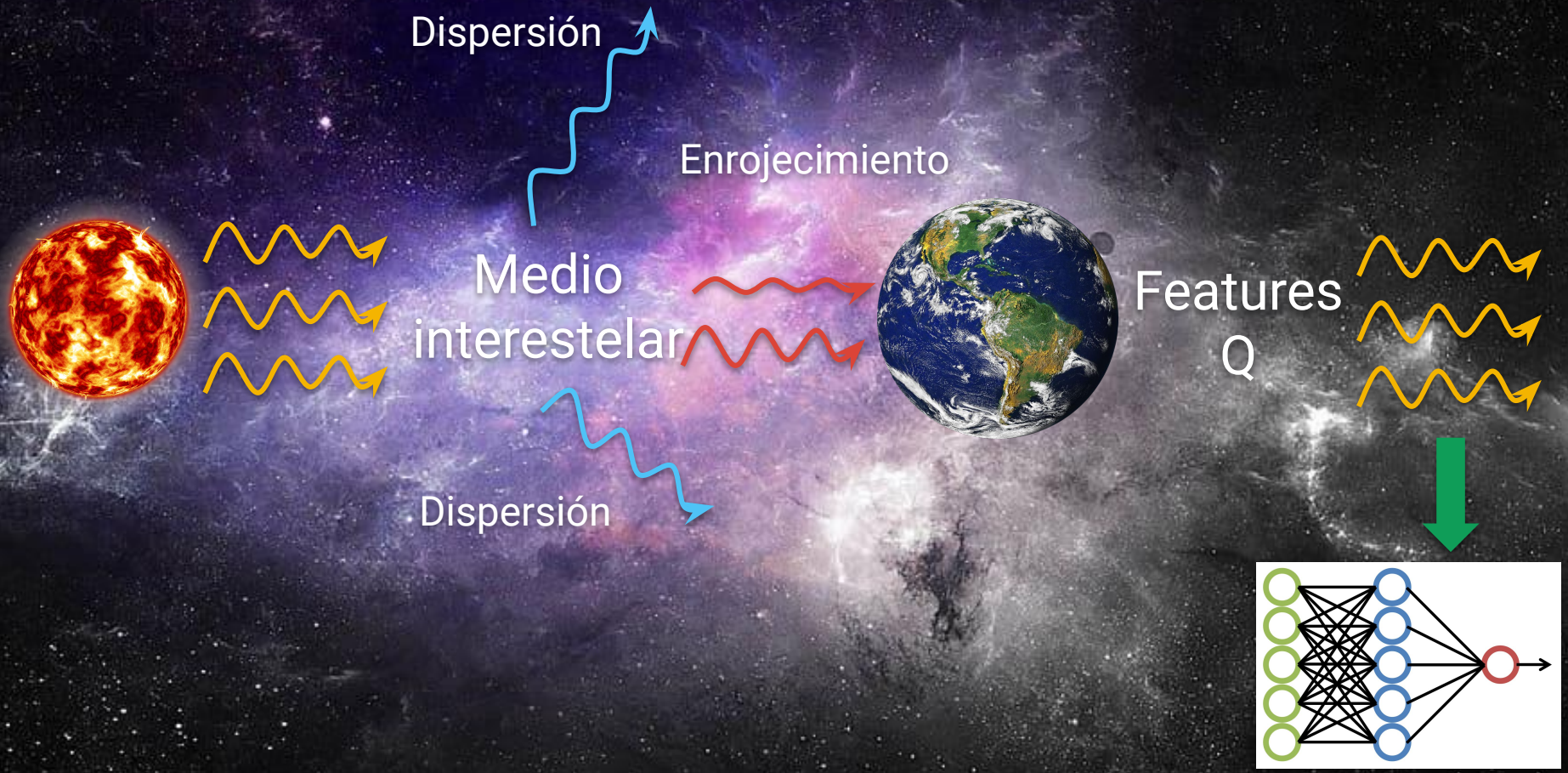
Prueba

Surveys

VPHAS+
IPHAS

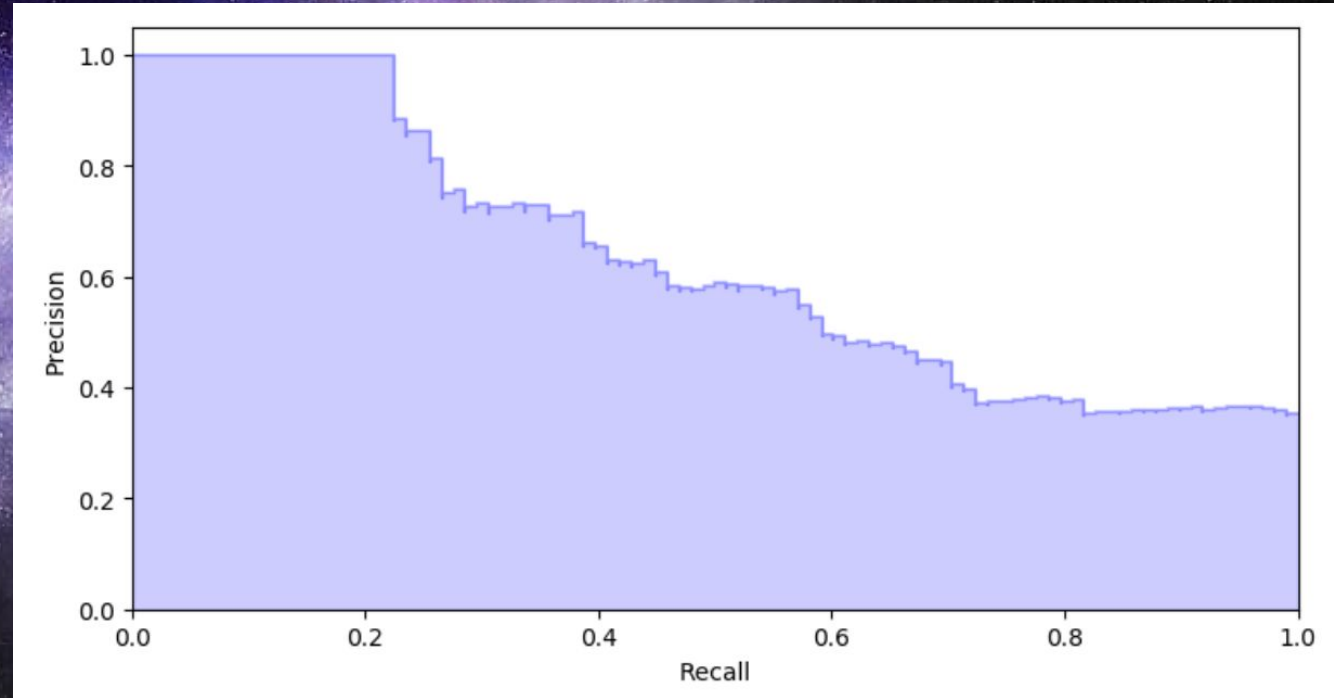
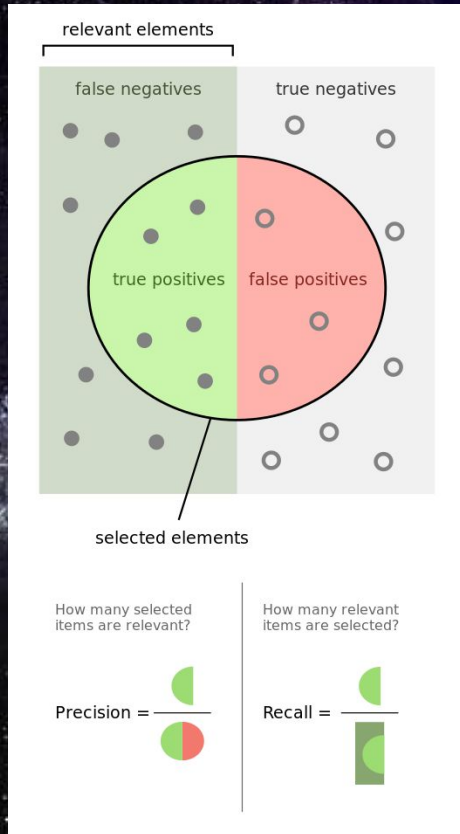
Evaluar la generalización a otras áreas y surveys

Features Q + Redes Neuronales



Metodología de evaluación - Precision y Recall

Modelo probabilístico: $P(\text{Estrella Be}) > \text{umbral}$
Variando umbral \rightarrow Curva de Precision - Recall



Resultados: Recall al 99% de Precision

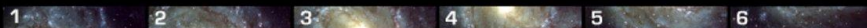
Model	Features	Mohr-Smith (Recall)	Liu (Recall)
Log. Regression	Magnitudes	84.2 (± 7)%	5.7 (± 0.1)%
Log. Regression	<i>Q</i>	81.3 (± 12)%	5.5 (± 10)%
Log. Regression	NCA	74.6(± 11)%	13.9 (± 9)%
SVM (Linear)	Magnitudes	82.4(± 14)%	0(± 0)%
SVM (Linear)	<i>Q</i>	85.2(± 9)%	9.2 (± 11)%
SVM (Gaussian)	Magnitudes	85.2(± 11)%	13.1 (± 2)%
SVM (Gaussian)	<i>Q</i>	37.2(± 3)%	4.7 (± 3)%
Neural Network	Magnitudes	84.8(± 8)%	9.5(± 4)%
Neural Network	<i>Q</i>	85.2(± 14)%	25 (± 8)%

Conclusión: Features *Q* aumentan la generalización

Two dimensional original on-sky image



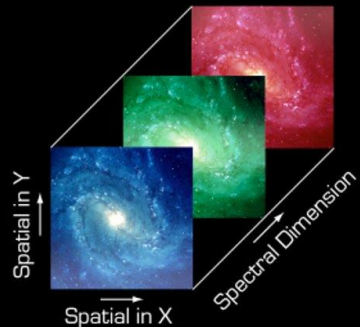
Optical slicing of the on-sky image



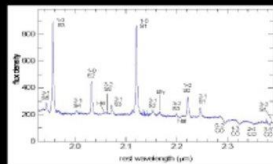
Spectral dispersion of the sliced image



Computer reconstruction of the 3D data cube



Spectrum of each 2D pixel



Computer reconstructed image

